

Figure 1: Influence du taux de préoxydation du phénol par le KMnO_4 sur l'évolution de la consommation en KMnO_4 et en chlore.
 $[\text{Phénol}] = 1,06410^{-4}$ mole/l ; $T_{\text{KMnO}_4} = 2$ h ; $T_{\text{Cl}_2} = 24$ h ; $r = 20$

◆ KMnO_4 consommé avant chloration, + Chlore consommé après préoxydation au KMnO_4

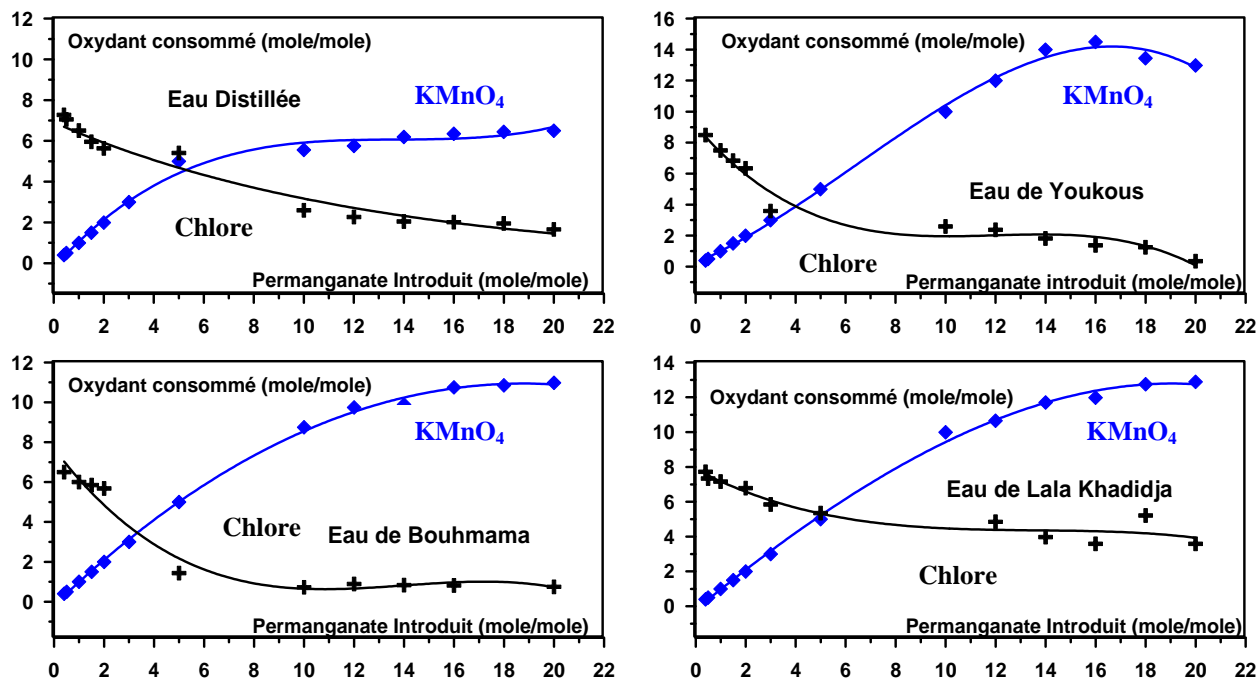


Figure 2: Influence du taux de préoxydation du résorcinol par le KMnO_4 sur l'évolution de la consommation en KMnO_4 et en chlore.
 $[\text{résorcinol}] = 10^{-5}$ mole/l ; $T_{\text{KMnO}_4} = 2$ h ; $T_{\text{Cl}_2} = 24$ h ; $r = 20$

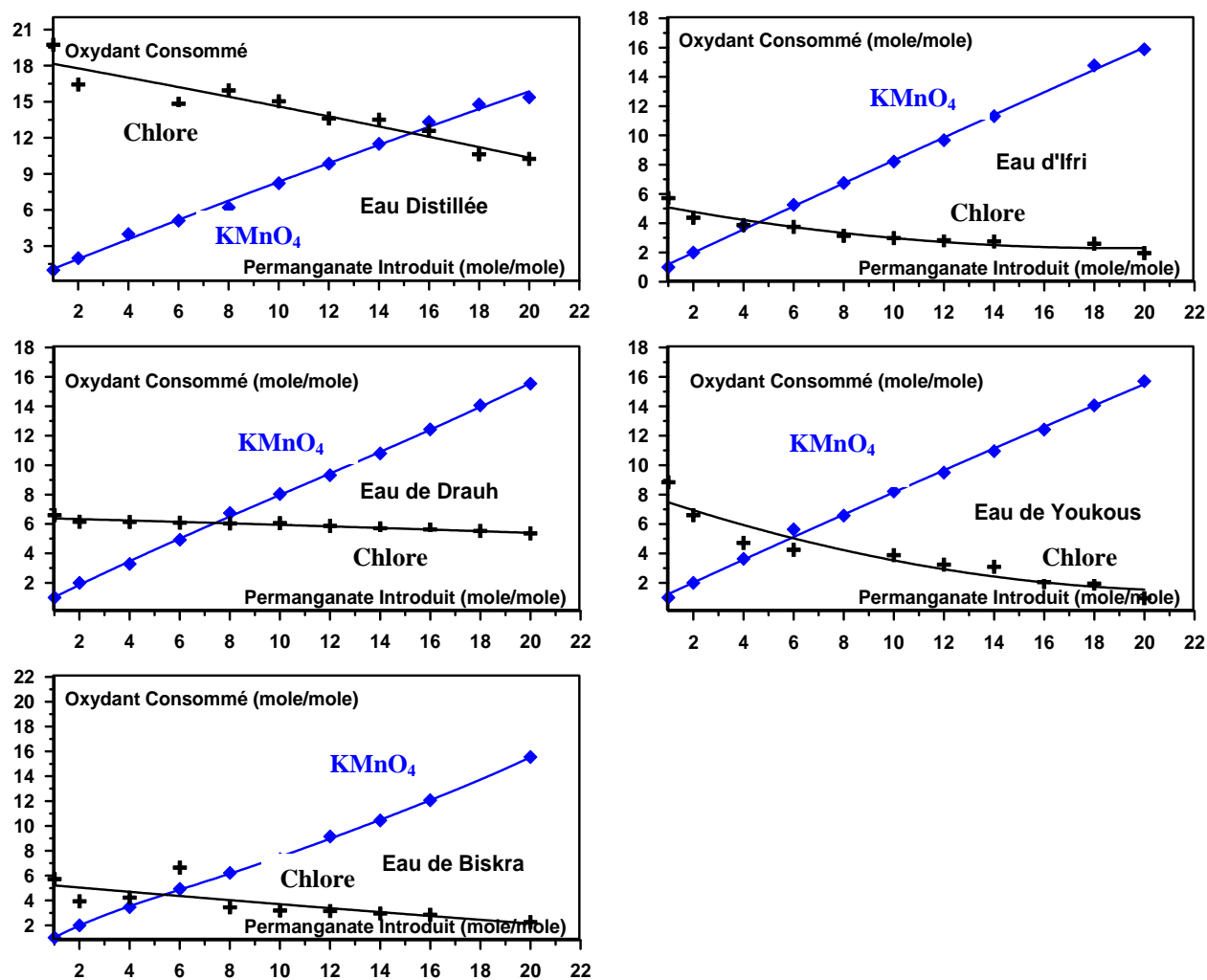


Figure 3: Influence du taux de préoxydation de l'alanine par le KMnO_4 sur l'évolution de la consommation en KMnO_4 et en chlore.
 $[\text{Alanin}] = 10^{-5} \text{ mole/l}$; $T_{\text{KMnO}_4} = 2 \text{ h}$; $T_{\text{Cl}_2} = 24 \text{ h}$; $r = 20$

◆ KMnO_4 consommé avant chloration, + Chlore consommé après préoxydation au KMnO_4

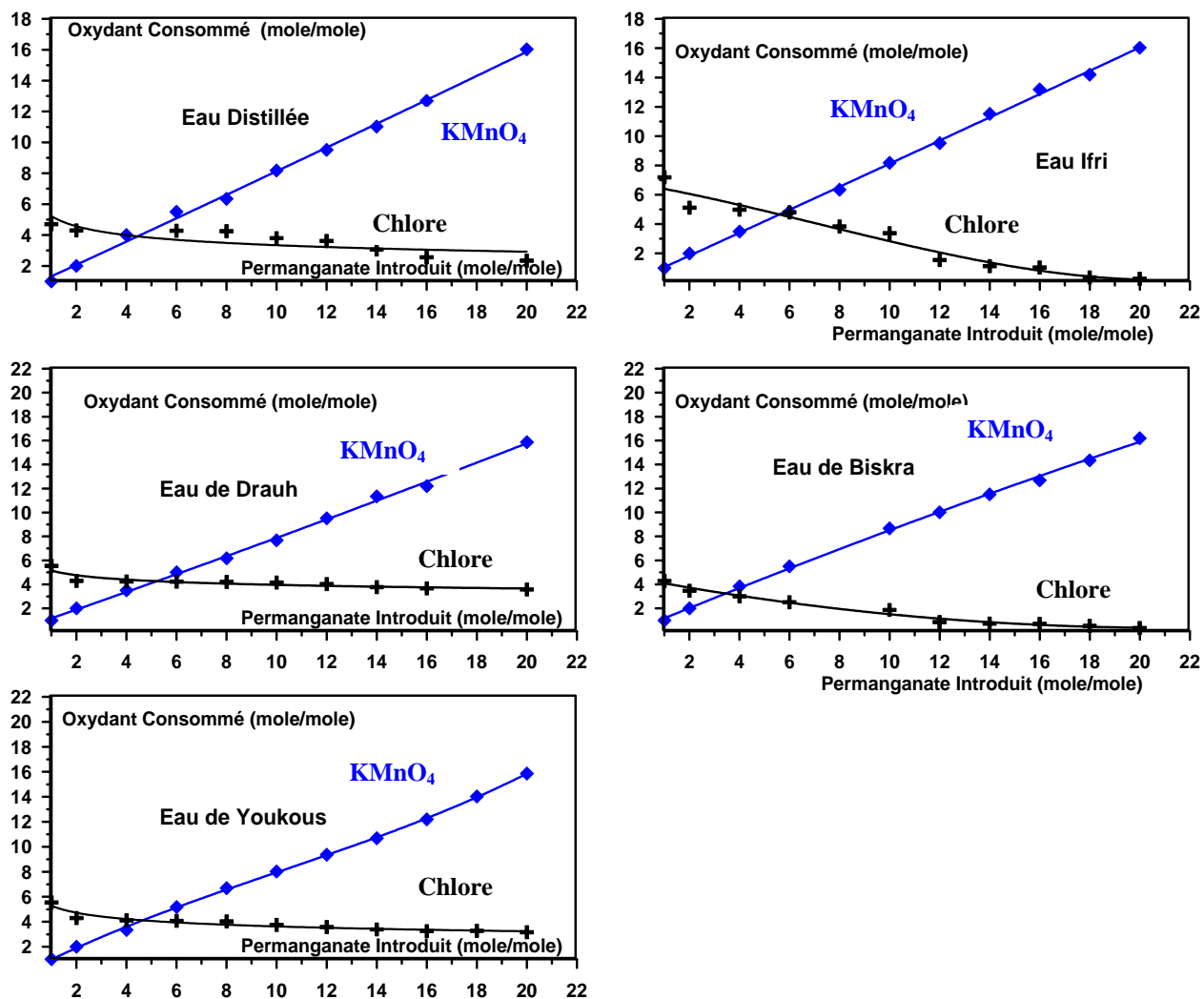


Figure 4: Influence du taux de préoxydation de la phénylalanine par le KMnO_4 sur l'évolution de la consommation en KMnO_4 et en chlore.
 $[\text{Phénylalanine}] = 10^{-5} \text{ mole/l}$; $T_{\text{KMnO}_4} = 2 \text{ h}$; $T_{\text{Cl}_2} = 24 \text{ h}$; $r = 20$

◆ KMnO_4 consommé avant chloration, + Chlore consommé après préoxydation au KMnO_4

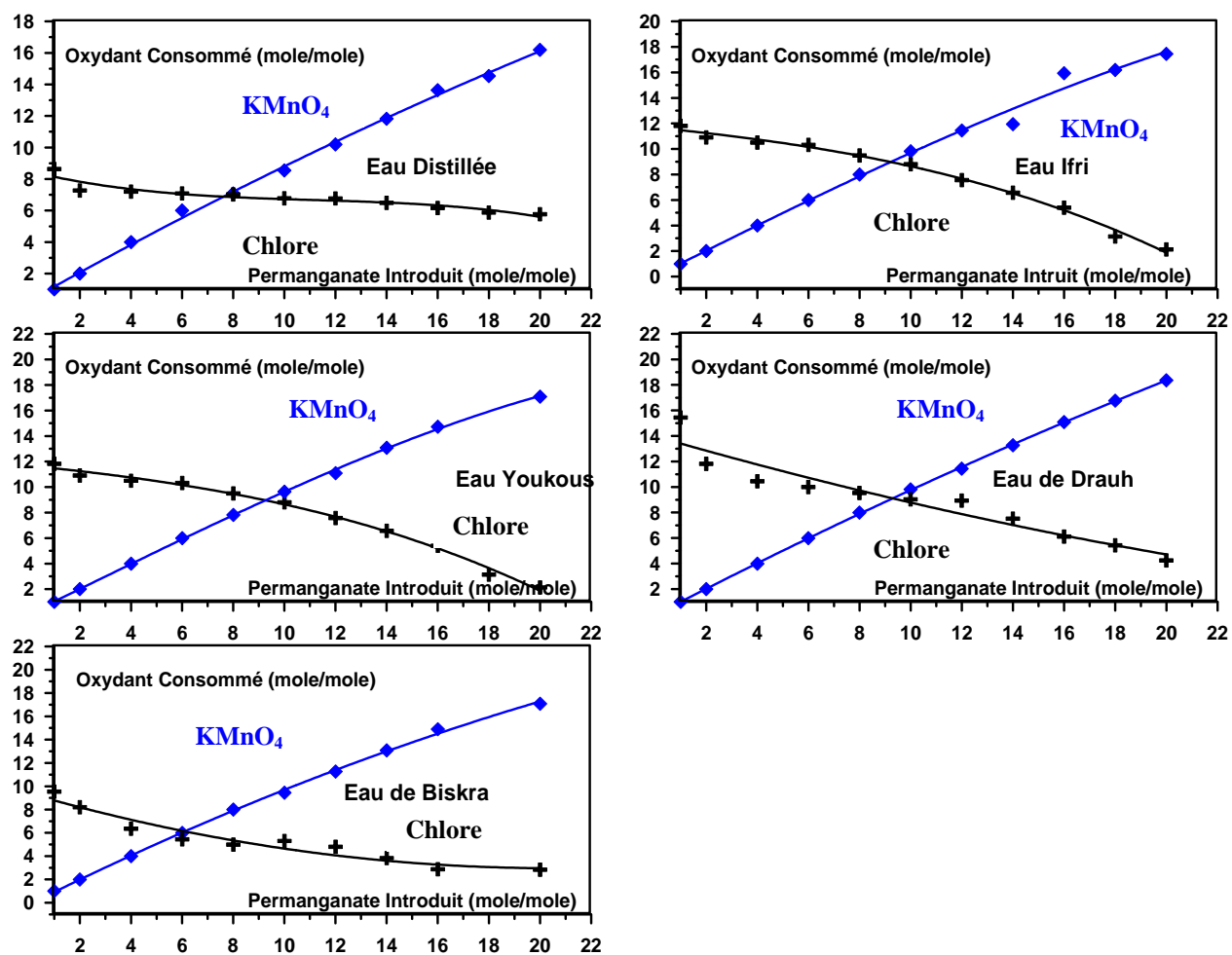


Figure 5: Influence du taux de préoxydation de la tyrosine par le KMnO_4 sur l'évolution de la consommation en KMnO_4 et en chlore.
 $[\text{Tyrosine}] = 10^{-5}$ mole/l; $T_{\text{KMnO}_4} = 2$ h; $T_{\text{Cl}_2} = 24$ h; $r = 20$

◆ KMnO_4 consommé avant chloration, + Chlore consommé après préoxydation au KMnO_4

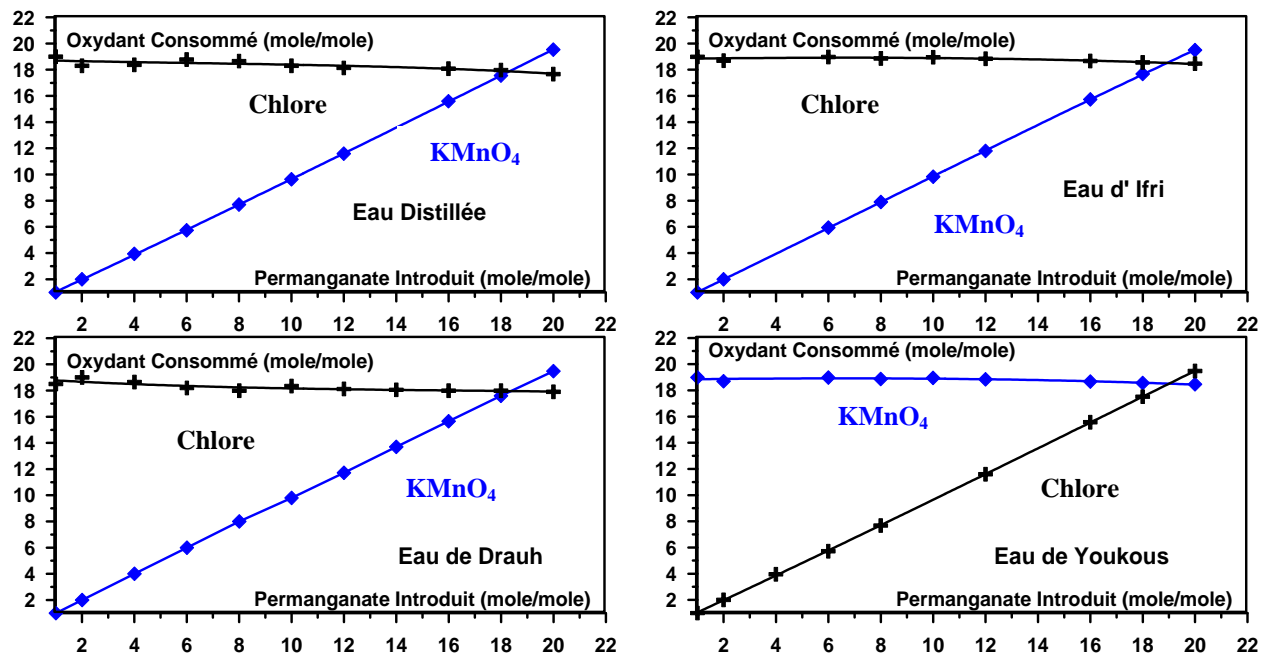


Figure 6: Influence du taux de préoxydation de l'uracile par le KMnO_4 sur l'évolution de la consommation en KMnO_4 et en chlore.
 $[\text{Uracile}] = 10^{-5}$ mole/l; $T_{\text{KMnO}_4} = 2$ h; $T_{\text{Cl}_2} = 24$ h; $r = 20$

◆ KMnO_4 consommé avant chloration, + Chlore consommé après préoxydation au KMnO_4

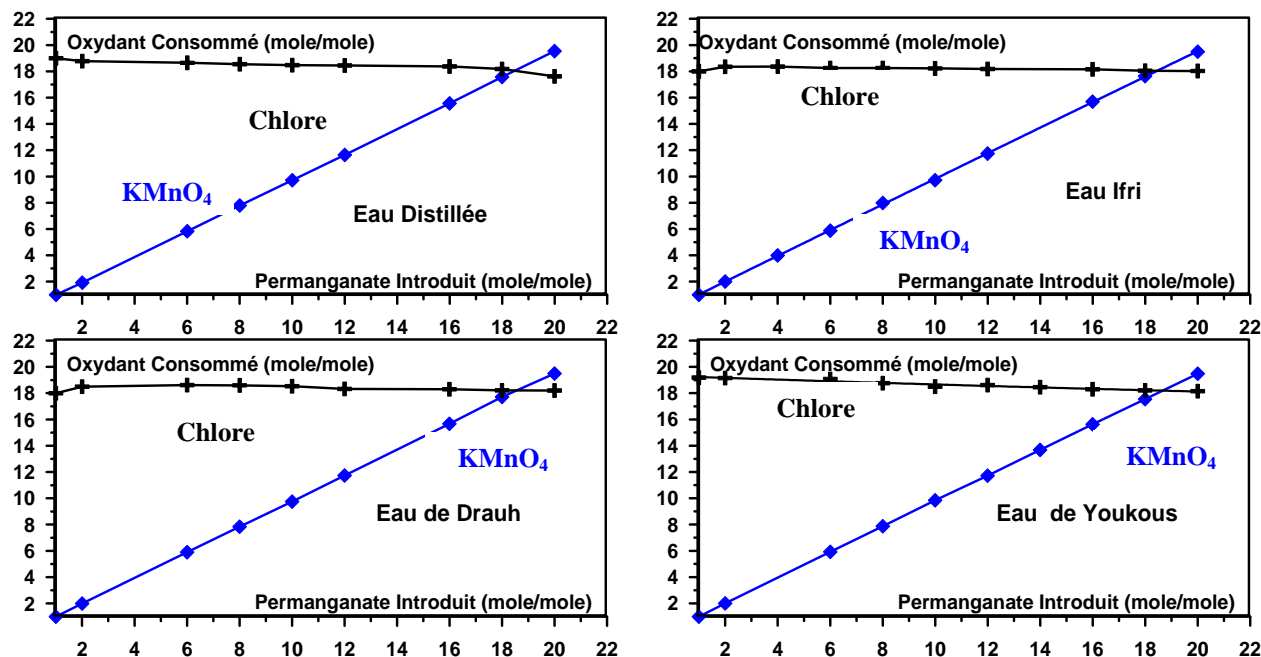


Figure 7: Influence du taux de préoxydation de la cytosine par le KMnO_4 sur l'évolution de la consommation en KMnO_4 et en chlore.
 $[\text{Cytosine}] = 10^{-5}$ mole/l; $T_{\text{KMnO}_4} = 2$ h; $T_{\text{Cl}_2} = 24$ h; $r = 20$

◆ KMnO_4 consommé avant chloration, + Chlore consommé après préoxydation au KMnO_4

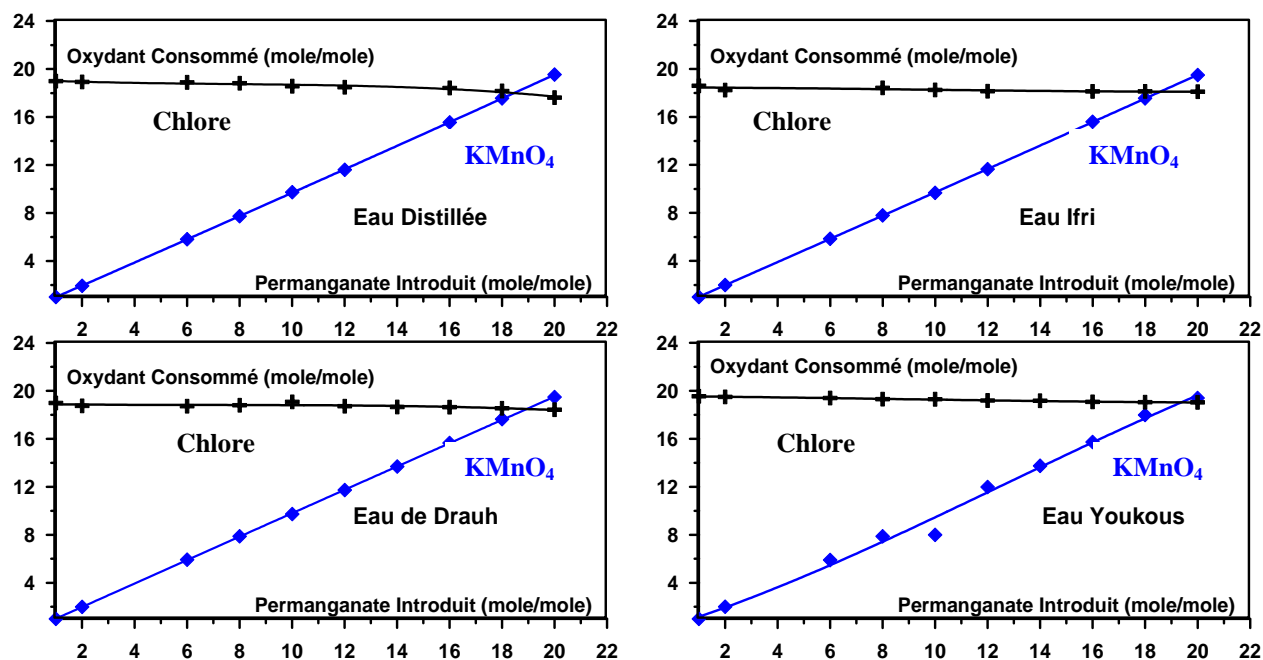


Figure 8: Influence du taux de préoxydation de la guanine par le KMnO_4 sur l'évolution de la consommation en KMnO_4 et en chlore.

$[\text{Guanine}] = 10^{-5}$ mole/l; $T_{\text{KMnO}_4} = 2$ h; $T_{\text{Cl}_2} = 24$ h; $r = 20$

◆ KMnO_4 consommé avant chloration, + Chlore consommé après préoxydation au KMnO_4

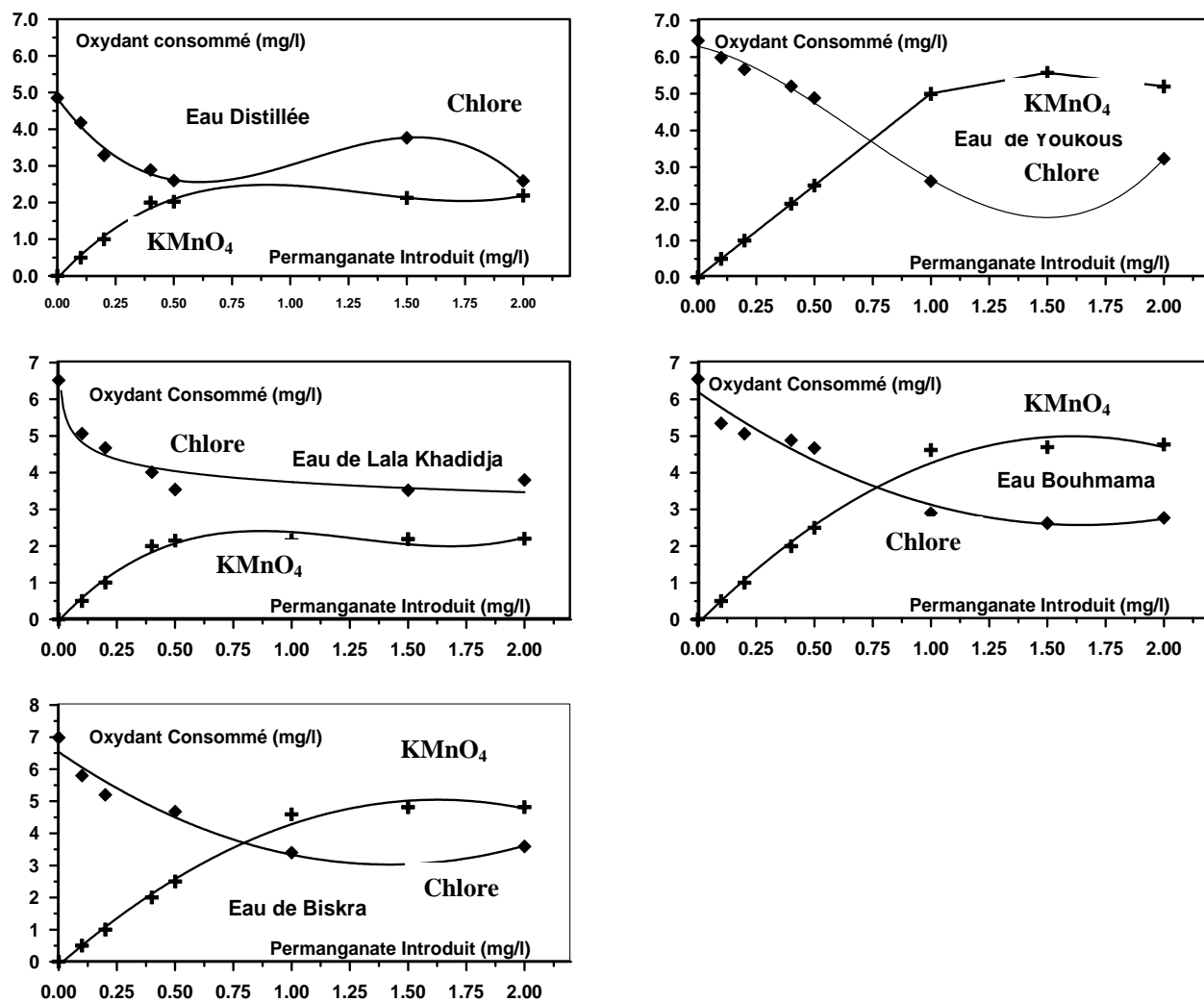


Figure 9: Influence du taux de préoxydation des substances humiques par le KMnO_4 sur l'évolution de la consommation en KMnO_4 et en chlore.
 $[\text{SH}] = 5 \text{ mg/l}$; $T_{\text{KMnO}_4} = 2 \text{ h}$; $T_{\text{Cl}_2} = 24 \text{ h}$; $m = 2$

+ KMnO_4 consommé avant chloration, ◆ Chlore consommé après préoxydation au KMnO_4

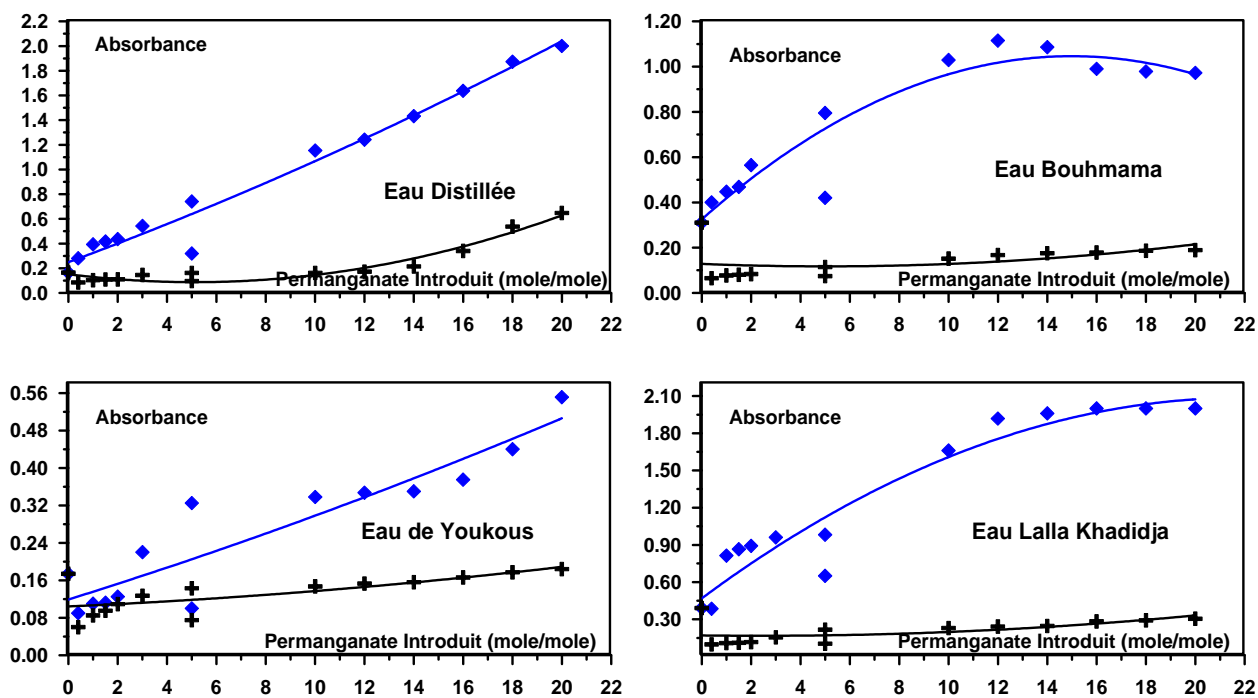


Figure 10 : Effet du taux de préoxydation du phénol au KMnO_4 sur l'évolution de l'absorbance.

$[\text{Phénol}] = 1,06410^{-4}$ mole/l; $T_{\text{KMnO}_4} = 2$ h; $T_{\text{Cl}_2} = 24$ h; $r = 20$.

◆ KMnO_4 consommé avant chloration, + Chlore consommé après préoxydation au KMnO_4

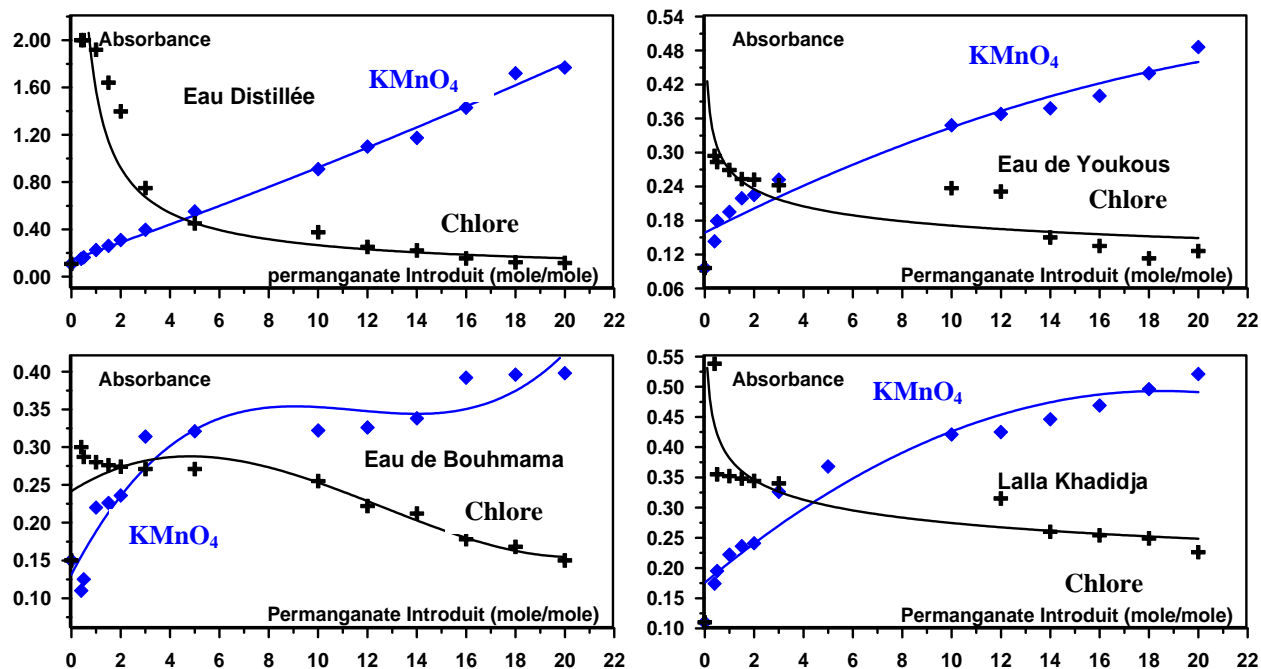


Figure 11 : Effet du taux de préoxydation du résorcinol au KMnO_4 sur l'évolution de l'absorbance.

$[\text{résorcinol}] = 9,0810^{-5}$ mole/l ; $T_{\text{KMnO}_4} = 2$ h ; $T_{\text{Cl}_2} = 24$ h ; $r = 20$.

◆ KMnO_4 consommé avant chloration, + Chlore consommé après préoxydation au KMnO_4

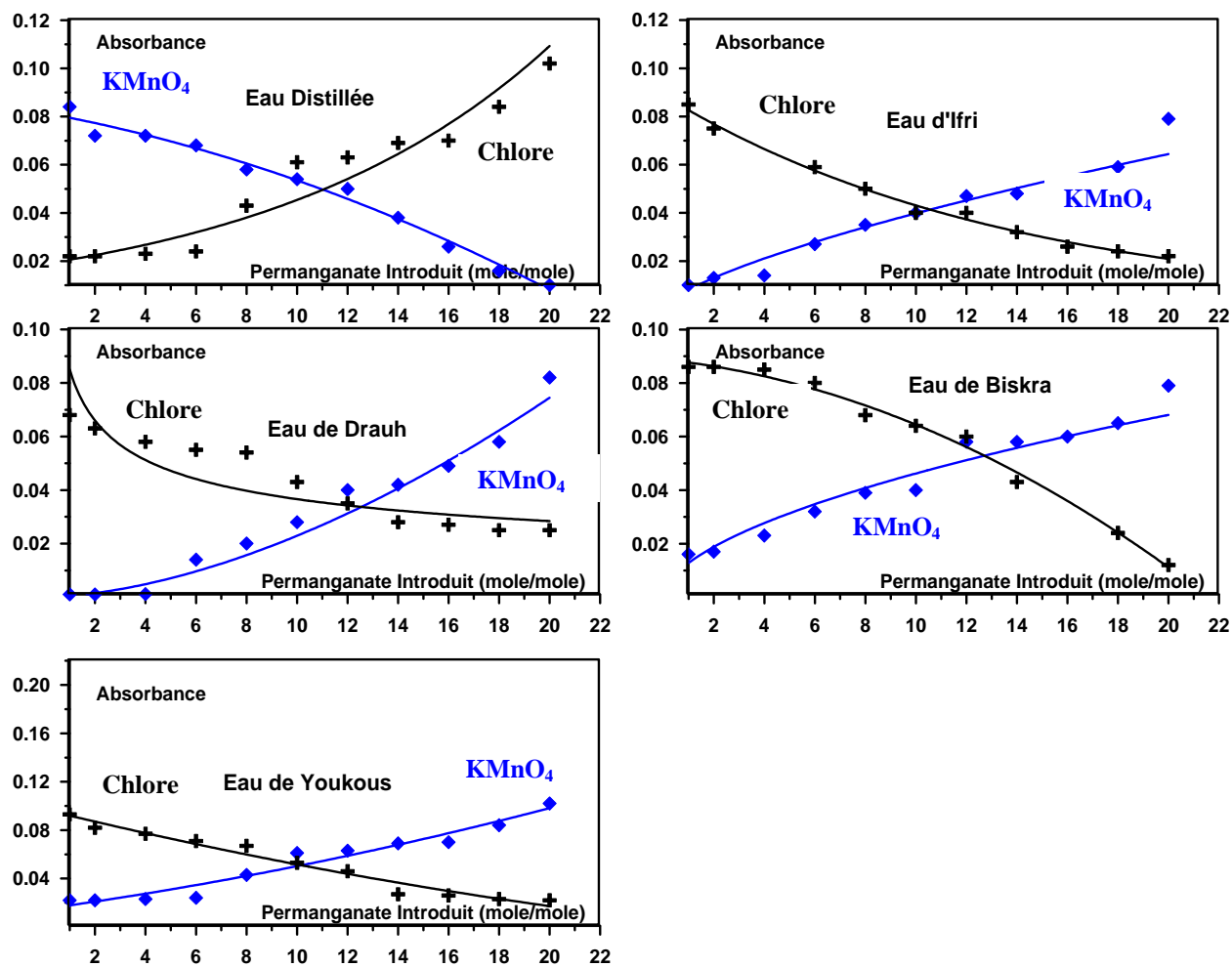


Figure 12 : Effet du taux de préoxydation de l'alanine au KMnO_4 sur l'évolution de l'absorbance.

$[\text{Alanine}] = 10^{-5}$ mole/l; $T_{\text{KMnO}_4} = 2$ h; $T_{\text{Cl}_2} = 24$ h; $r = 20$.

◆ KMnO_4 consommé avant chloration, + Chlore consommé après préoxydation au KMnO_4

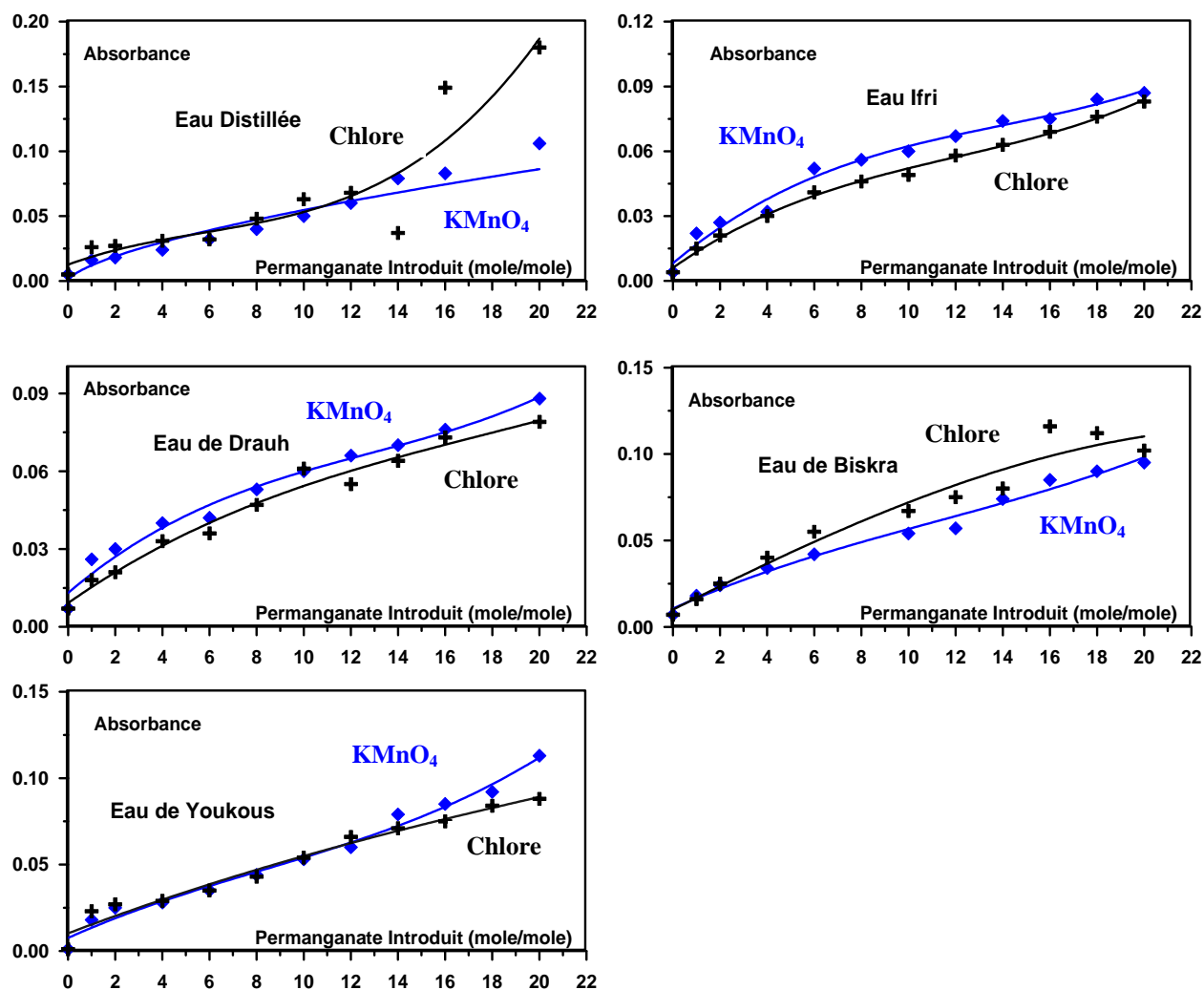


Figure 13 : Effet du taux de préoxydation de la phénylalanine au KMnO_4 sur l'évolution de l'absorbance.

$[\text{Phénylalanine}] = 10^{-5}$ mole/l ; $T_{\text{KMnO}_4} = 2$ h ; $T_{\text{Cl}_2} = 24$ h ; $r = 20$.

◆ KMnO_4 consommé avant chloration, + Chlore consommé après préoxydation au KMnO_4

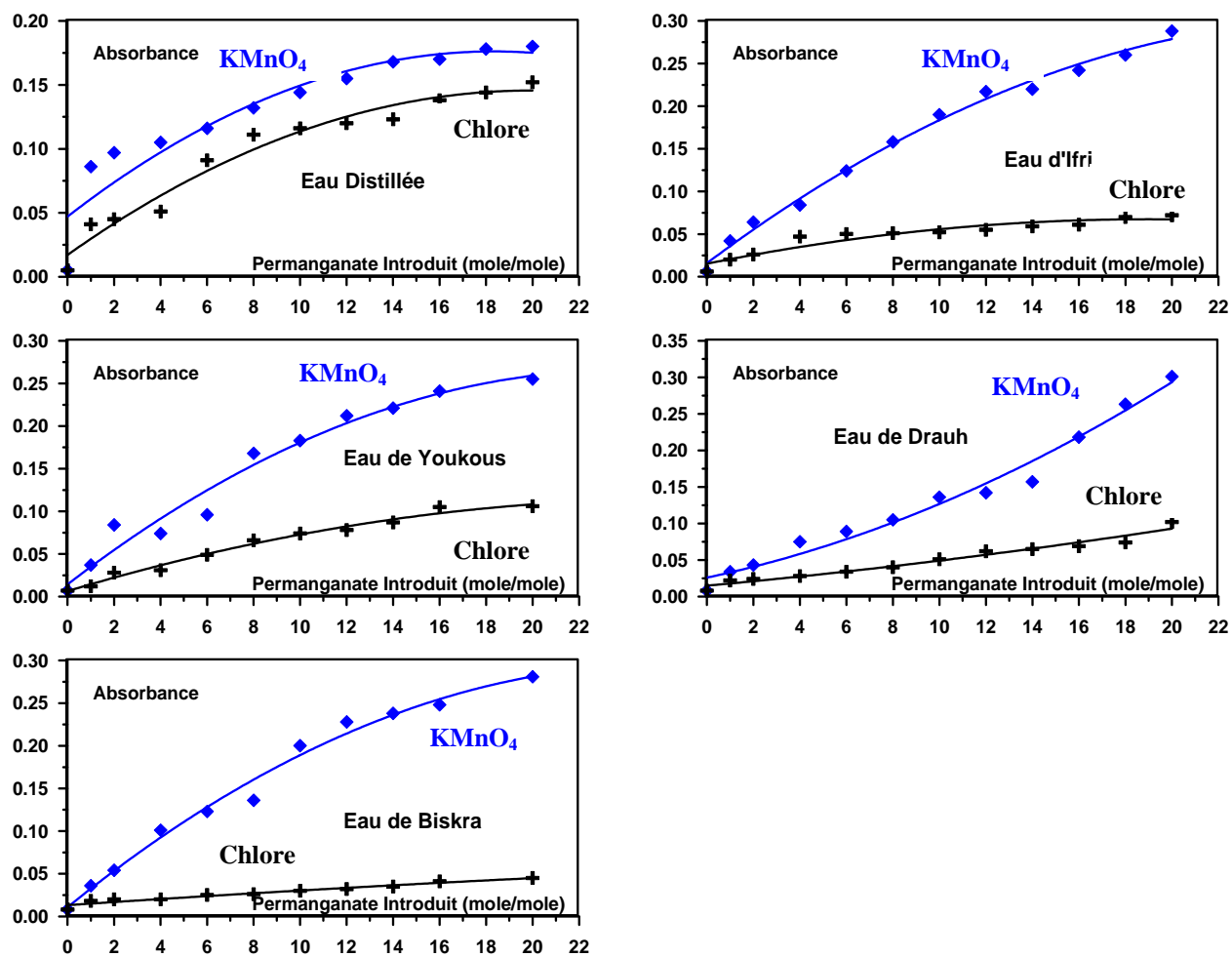


Figure 14 : Effet du taux de préoxydation de la tyrosine au $KMnO_4$ sur l'évolution de l'absorbance.

$[Tyrosine] = 10^{-5}$ mole/l; $T_{KMnO_4} = 2$ h; $T_{Cl_2} = 24$ h; $r = 20$.

◆ $KMnO_4$ consommé avant chloration, + Chlore consommé après préoxydation au $KMnO_4$

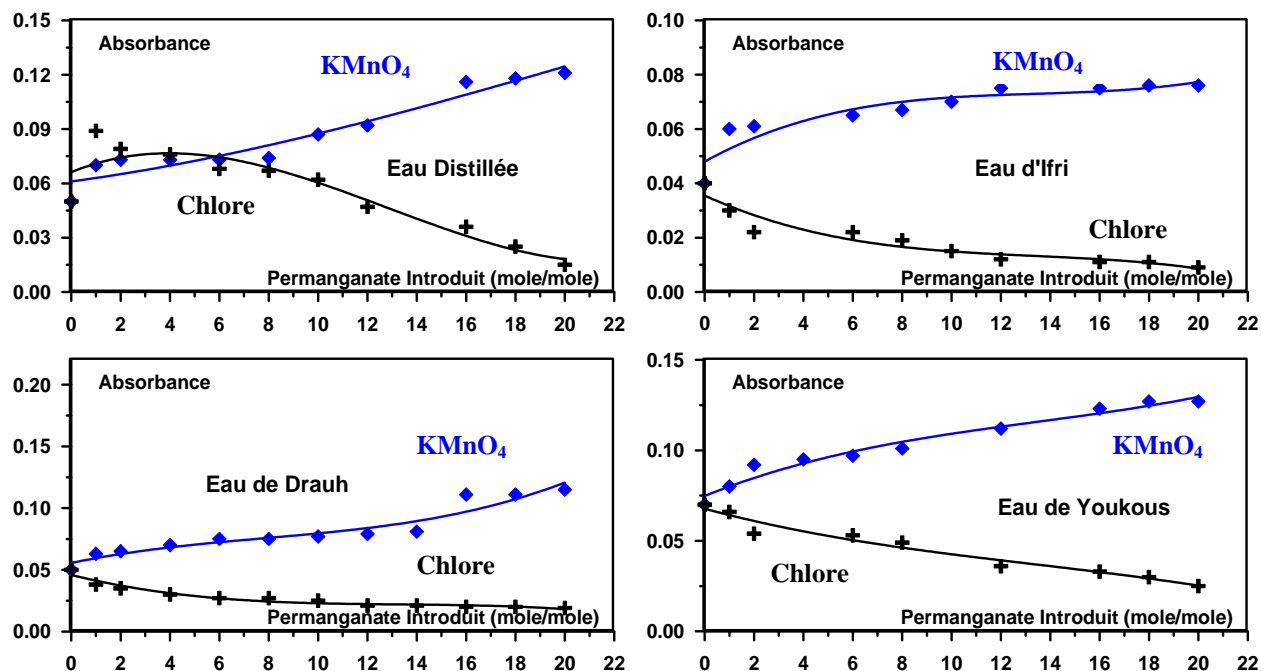


Figure 15 : Effet du taux de préoxydation de l'uracile au KMnO_4 sur l'évolution de l'absorbance.

$[\text{Uracile}] = 10^{-5}$ mole/l; $T_{\text{KMnO}_4} = 2$ h; $T_{\text{Cl}_2} = 24$ h; $r = 20$.

◆ KMnO_4 consommé avant chloration, + Chlore consommé après préoxydation au KMnO_4

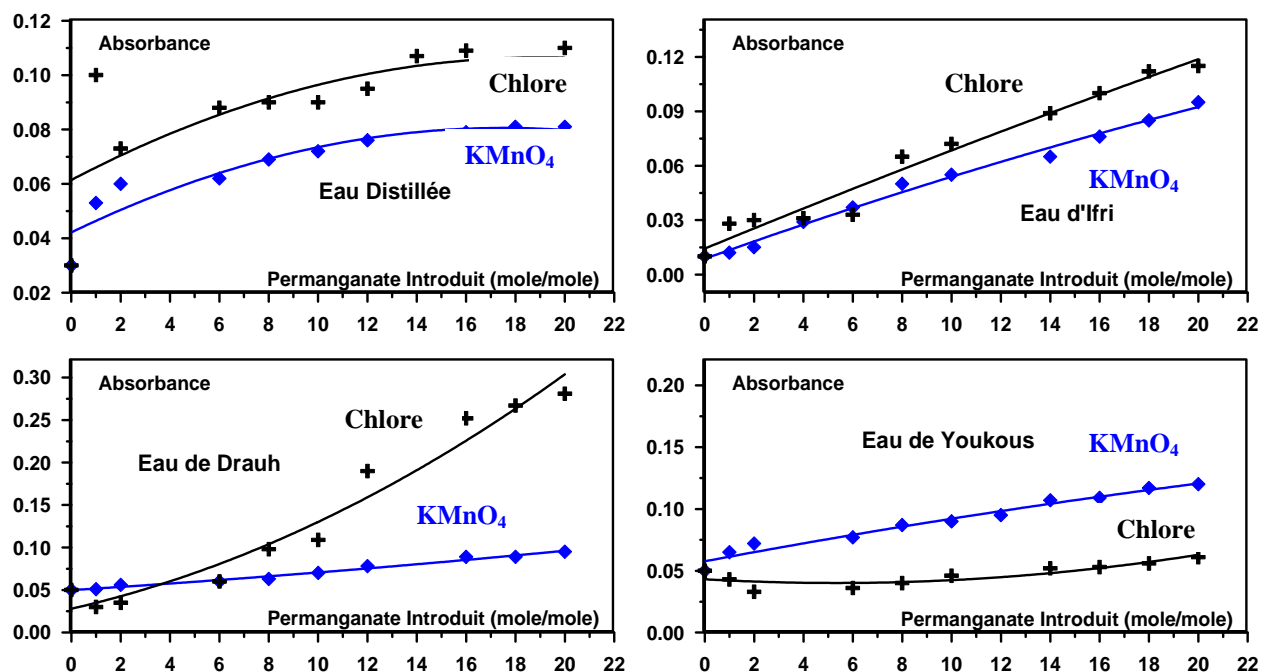


Figure 16 : Effet du taux de préoxydation de la cytosine au KMnO_4 sur l'évolution de l'absorbance.

$[\text{Cytosine}] = 10^{-5}$ mole/l; $T_{\text{KMnO}_4} = 2$ h; $T_{\text{Cl}_2} = 24$ h; $r = 20$.

◆ KMnO_4 consommé avant chloration, + Chlore consommé après préoxydation au KMnO_4

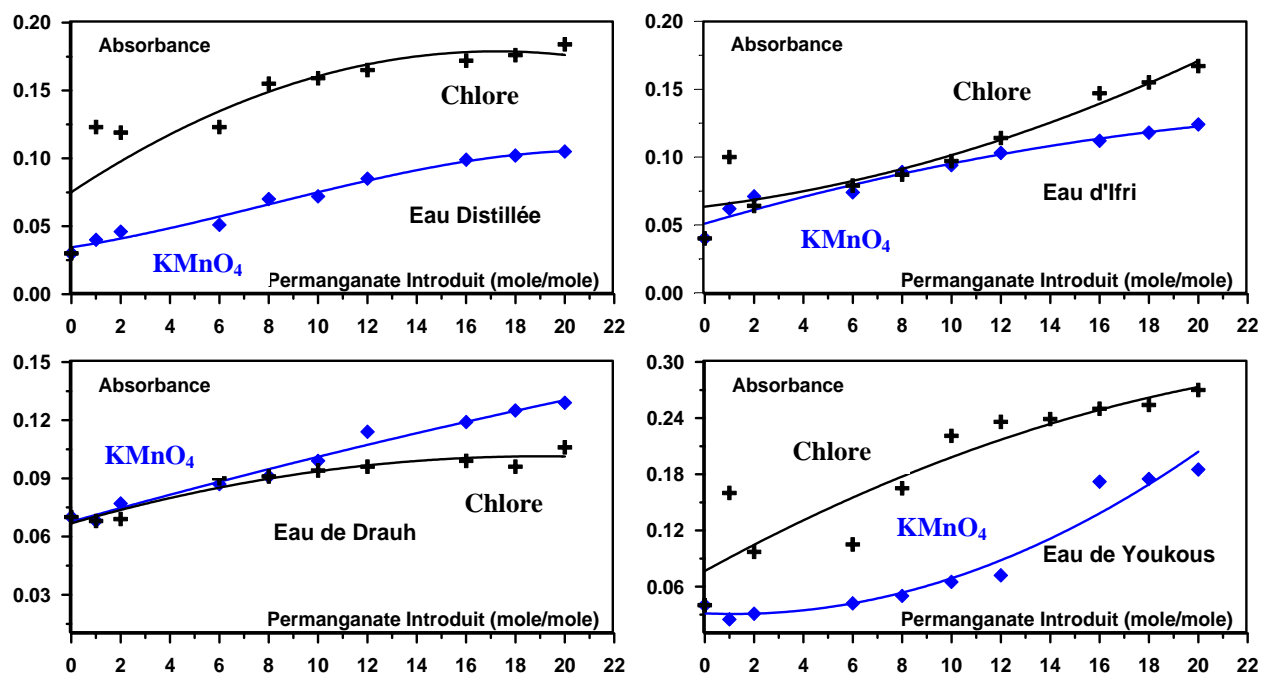


Figure 17: Effet du taux de préoxydation de la guanine au KMnO_4 sur l'évolution de l'absorbance.

$[\text{Guanine}] = 10^{-5}$ mole/l; $T_{\text{KMnO}_4} = 2$ h; $T_{\text{Cl}_2} = 24$ h; $r = 20$.

◆ KMnO_4 consommé avant chloration, + Chlore consommé après préoxydation au KMnO_4